

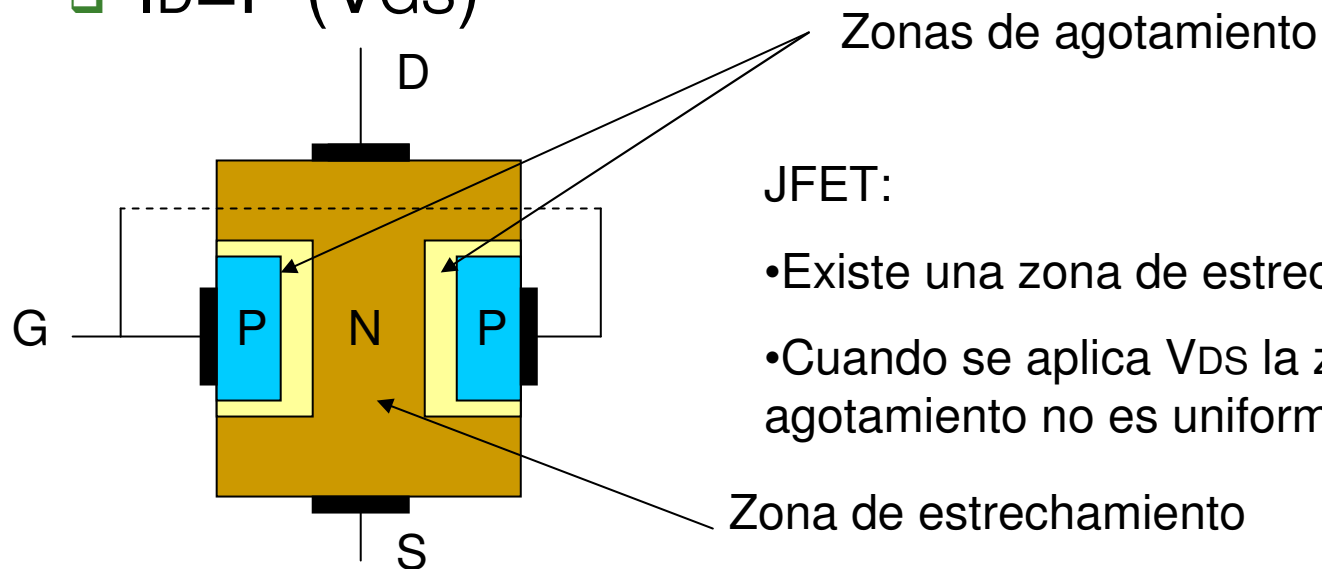
# MOSFET

## Conceptos Básicos

Profesor: Ing. Johan Carvajal Godínez

# Introducción

- FET = Field Effect Transistor
  - Unipolar = solo un tipo de portador de carga
  - Controlado por voltaje
  - $I_D = F(V_{GS})$

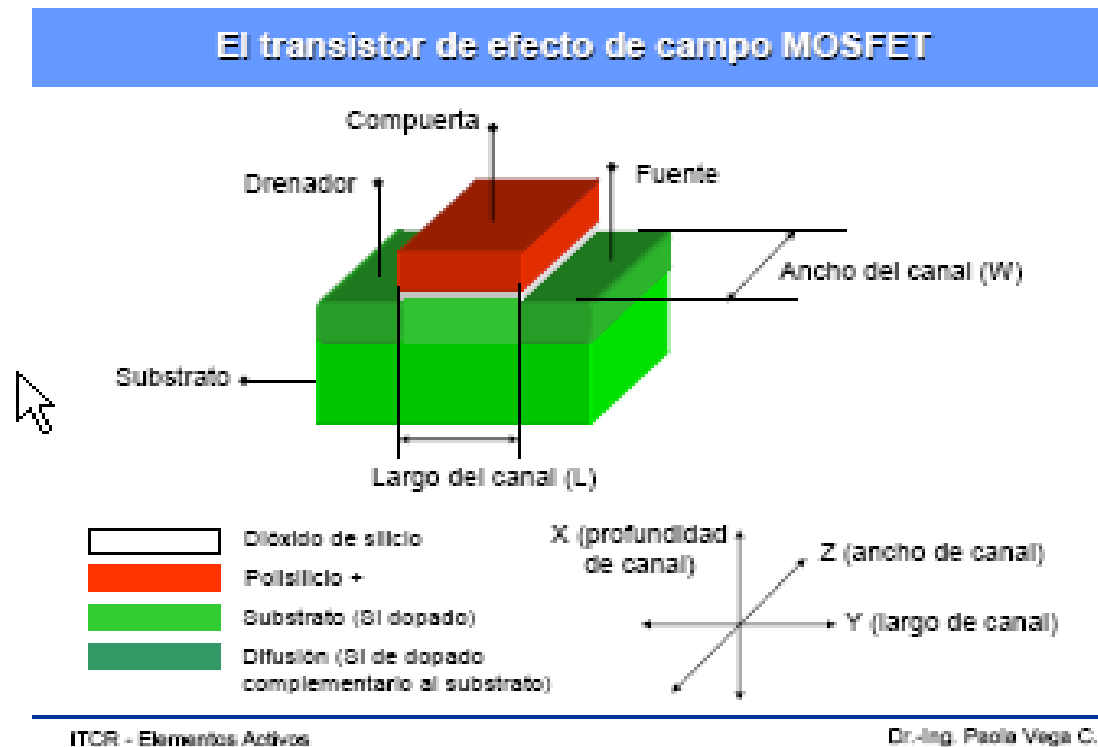


JFET:

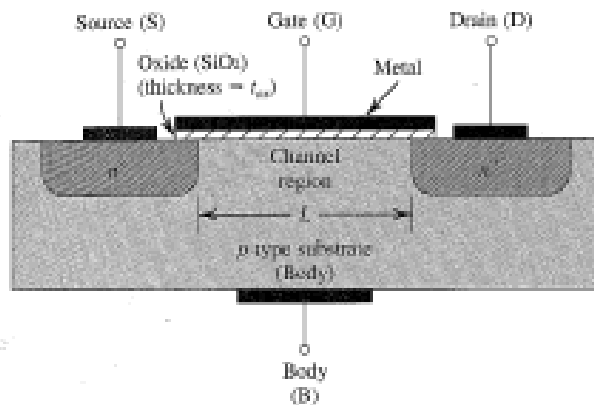
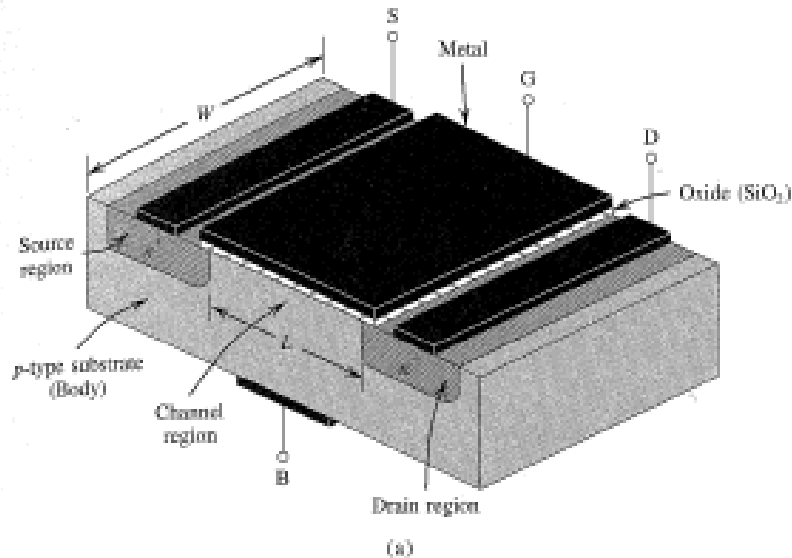
- Existe una zona de estrechamiento
- Cuando se aplica  $V_{DS}$  la zona de agotamiento no es uniforme

# Introducción

- MOSFET = Metal-Oxide FET = IG FET



# Estructura del MOSFET



MOSFET consta de 4 terminales

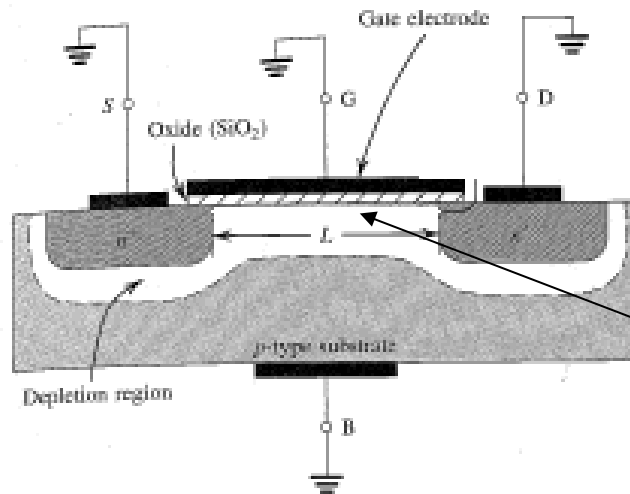
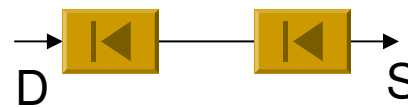
- Gate = compuerta
- Drain = drenaje
- Source = fuente
- Body o substrate = sustrato o cuerpo

Parámetros de construcción

- $L$  = largo del canal
- $W$  = ancho del dispositivo
- $T_{ox}$  = grosor de la capa de  $\text{SiO}_2$

# Modo de operación

- Cuando  $V_{GS} = 0$ 
  - ❑ Dos diodos en serie
  - ❑  $R_{DS} = 10^{12}$  Ohmios

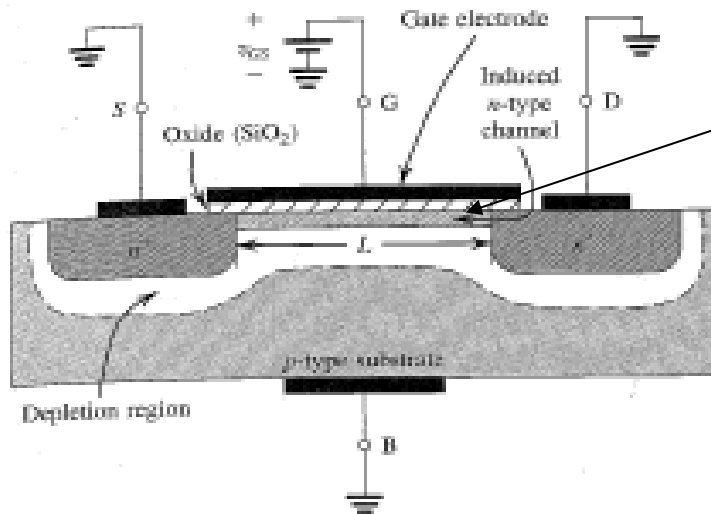


N-MOS

Región de  
agotamiento por  
unión PN  
**NO** hay canal  
inducido

# Creación de un canal de conducción

- Cuando se aplica un  $V_{GS} > 0$  V



N-MOS

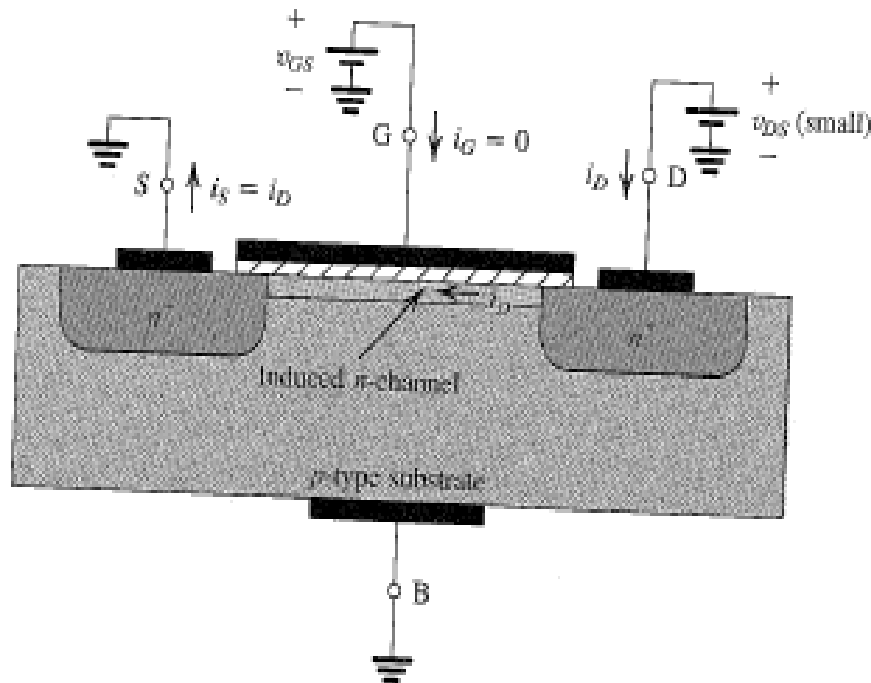
Región de agotamiento por unión PN  
Se induce un canal tipo N en el sustrato P (capa de inversión)

La cantidad de  $V_{GS}$  requerido para la formación del canal  $\rightarrow V_T$

$V_T$  depende del proceso de fabricación (0.5V-1V)

# Formación de corriente de drenaje

$V_{DS}$  pequeño



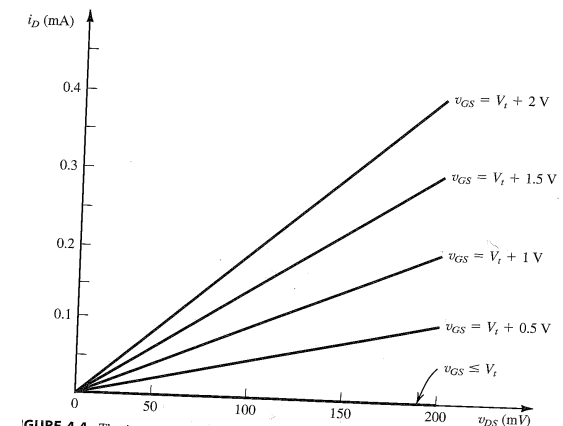
**FIGURE 4.3** An NMOS transistor with  $v_{GS} > V_t$  and with a small  $v_{DS}$  applied. The device acts as a resistance whose value is determined by  $v_{GS}$ . Specifically, the channel conductance is proportional to  $v_{GS} - V_t$  and thus  $i_D$  is proportional to  $(v_{GS} - V_t)v_{DS}$ . Note that the depletion region is not shown (for simplicity).

$(V_{GS} - V_T)$  = voltaje efectivo de conducción

$V_{DS}$  esta en el orden de mV

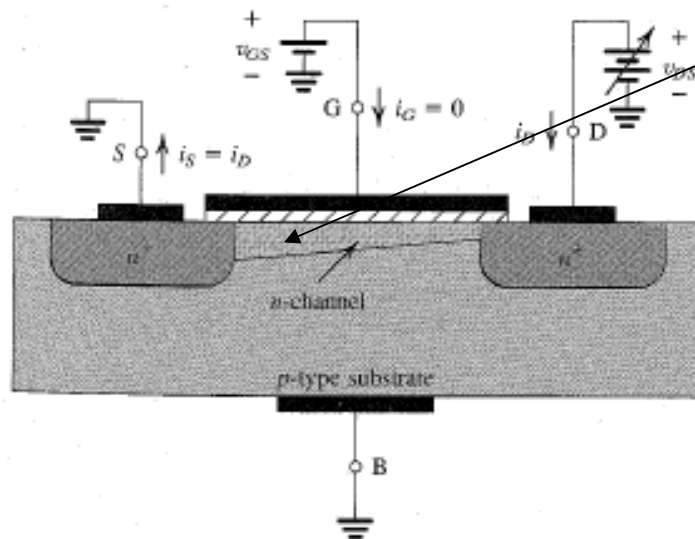
La Resistencia del MOSFET es lineal y proporcional al voltaje efectivo de conducción

$$R_{DS} = F(V_{GS})$$



# Formación de corriente de drenaje

## $V_{DS}$ incrementado



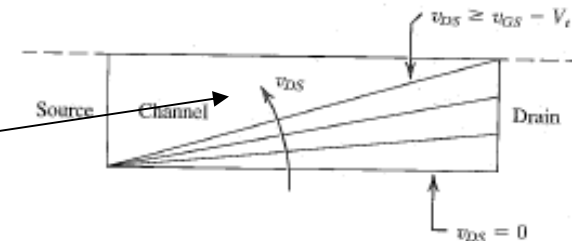
**FIGURE 4.5** Operation of the enhancement NMOS transistor as  $v_{DS}$  is increased. The induced channel acquires a tapered shape, and its resistance increases as  $v_{DS}$  is increased. Here,  $v_{GS}$  is kept constant at a value  $> V_t$ .

La caída de  $V_{DS}$  se da a lo largo del canal creando una  $I_{DS}$  que no es uniforme y un canal deformado

Si  $V_{DS}$  aumenta hasta alcanzar el voltaje efectivo de conducción del MOSFET  $\rightarrow$  Saturación del canal

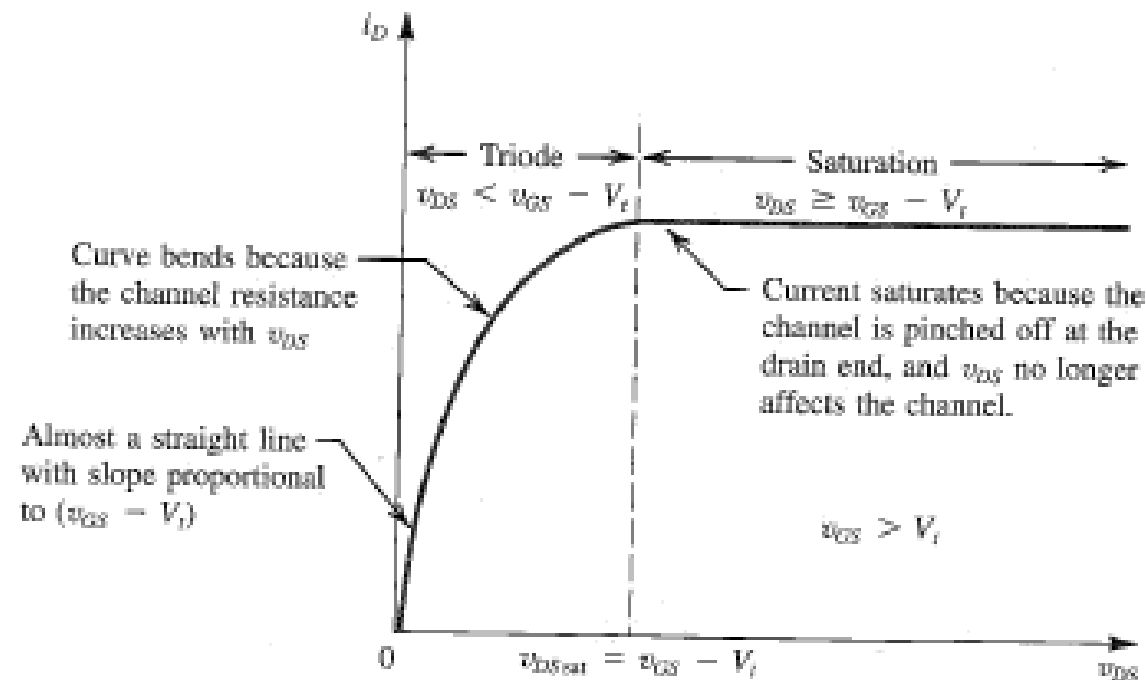
$$V_{DS} = (V_{GS} - V_T) = V_{D \text{ sat}}$$

Deformación del canal conforme aumenta  $V_{DS}$





# Corriente de drenaje en función de los parámetros de polarización



**FIGURE 4.6** The drain current  $i_D$  versus the drain-to-source voltage  $v_{DS}$  for an enhancement-type NMOS transistor operated with  $v_{GS} > V_t$ .

# Derivación de la corriente de drenaje en función del voltaje de drenaje-fuente

## Región infinitesimal de la compuerta

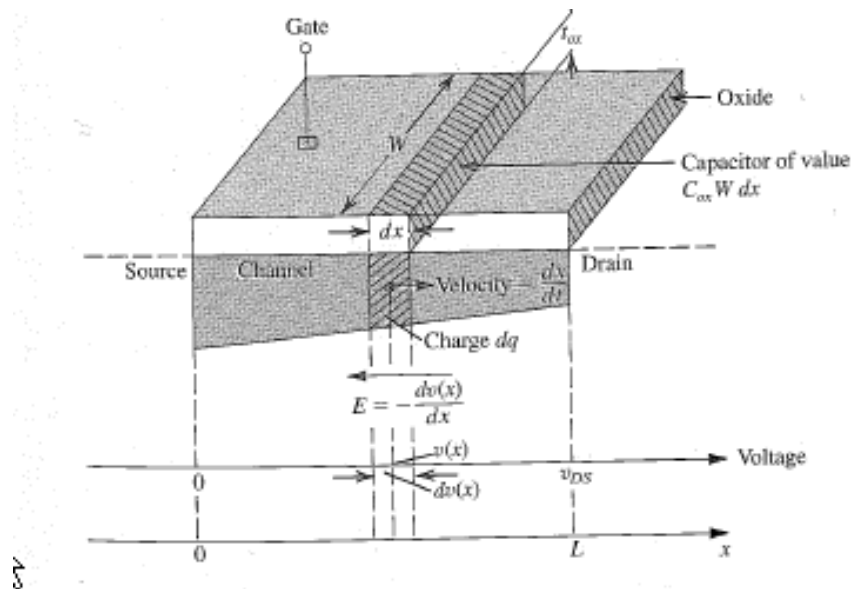


FIGURE 4.8 Derivation of the  $I_D$ - $V_{DS}$  characteristic of the NMOS transistor.

Para análisis se considera operando en la región de Triodo  $\rightarrow V_{DS} < (V_{GS} - V_T)$

$$C_{ox} = \frac{\epsilon_{ox}}{t_{ox}}$$

where  $\epsilon_{ox}$  is the permittivity of the silicon oxide,

$$\epsilon_{ox} = 3.9\epsilon_0 = 3.9 \times 8.854 \times 10^{-12} = 3.45 \times 10^{-11} \text{ F/m}$$

# Derivación de la corriente de drenaje en función del voltaje de drenaje-fuente

$$dq = -C_{ox}(W dx)[v_{GS} - v(x) - V_t] \quad (dQ = C \cdot dV)$$

$$\frac{dx}{dt} = -\mu_n E(x) = \mu_n \frac{dv(x)}{dx} \quad \text{Velocidad de la corriente de drenaje}$$

$$i = \frac{dq}{dt} \\ = \frac{dq}{dx} \frac{dx}{dt}$$

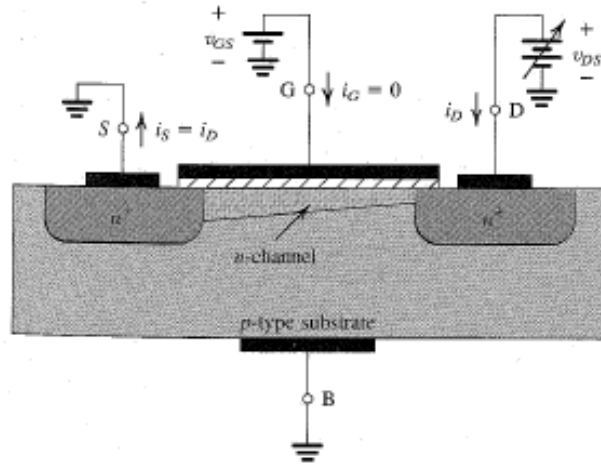
$$i = -\mu_n C_{ox} W [v_{GS} - v(x) - V_t] \frac{dv(x)}{dx}$$

$$\int_0^L i_D dx = \int_0^{v_{DS}} \mu_n C_{ox} W [v_{GS} - V_t - v(x)] dv(x) \\ i_D = (\mu_n C_{ox}) \left( \frac{W}{L} \right) \left[ (v_{GS} - V_t) v_{DS} - \frac{1}{2} v_{DS}^2 \right]$$

$$i_D = k'_n \frac{W}{L} \left[ (v_{GS} - V_t) v_{DS} - \frac{1}{2} v_{DS}^2 \right] \quad (\text{Triode region})$$

$$i_D = \frac{1}{2} k'_n \frac{W}{L} (v_{GS} - V_t)^2 \quad (\text{Saturation region})$$

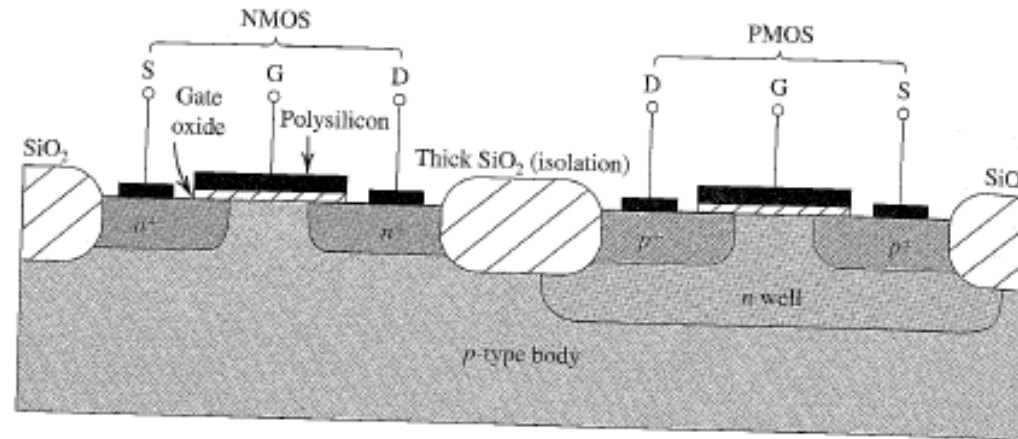
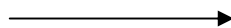
# Variantes del MOSFET



**FIGURE 4.5** Operation of the enhancement NMOS transistor a acquires a tapered shape, and its resistance increases as  $v_{DS}$  is in value  $> V_T$ .

PMOS tiene el mismo principio de funcionamiento que NMOS solo que  $V_{GS}$ ,  $V_{DS}$  y  $V_T$  son negativos

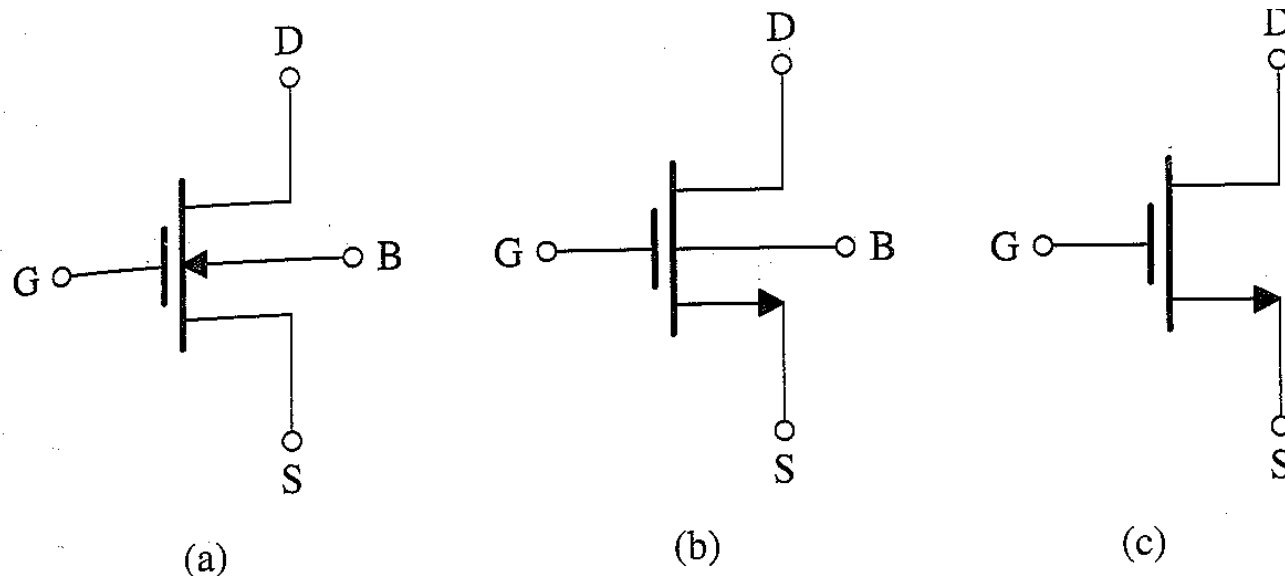
CMOS



**FIGURE 4.9** Cross-section of a CMOS integrated circuit. Note that the PMOS transistor is formed in a separate  $n$ -type region, known as an  $n$  well. Another arrangement is also possible in which an  $n$ -type body is used and the  $n$  device is formed in a  $p$  well. Not shown are the connections made to the  $p$ -type body and to the  $n$  well; the latter functions as the body terminal for the  $p$ -channel device.

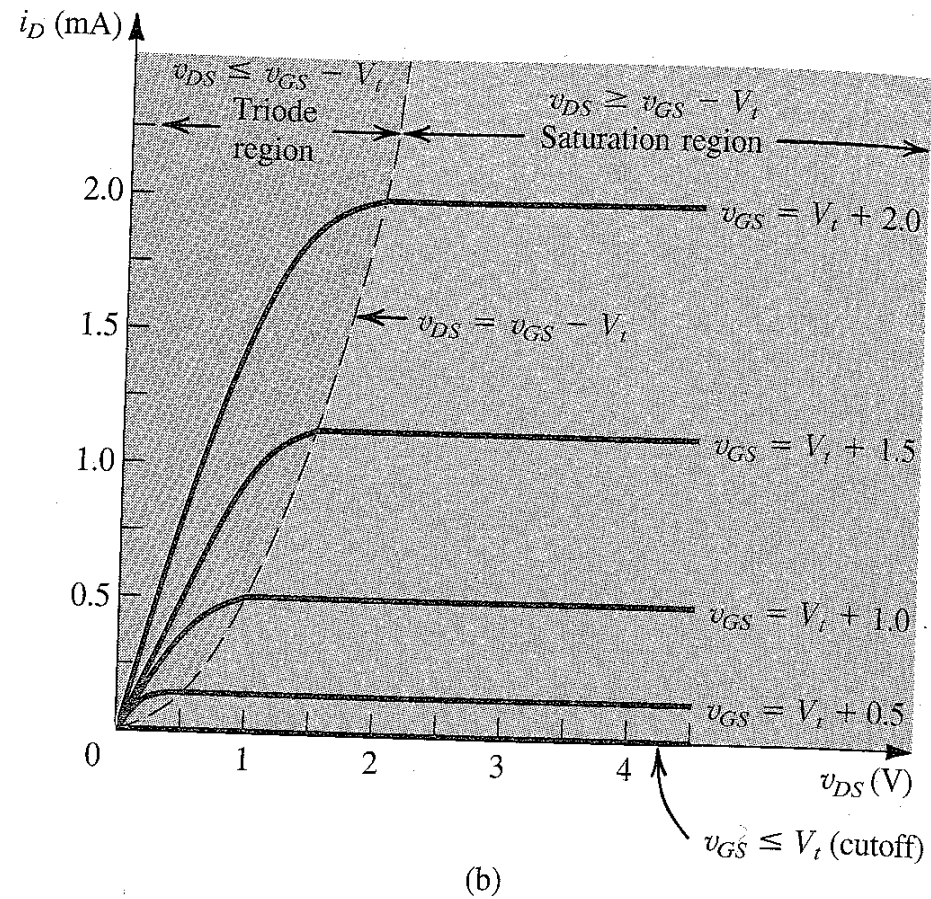
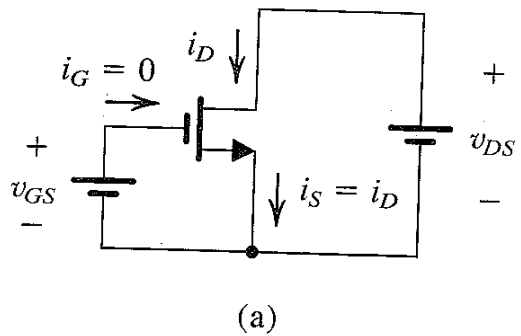
# Representación del dispositivo

## Símbolo



**FIGURE 4.10** (a) Circuit symbol for the  $n$ -channel enhancement-type MOSFET. (b) Modified circuit symbol with an arrowhead on the source terminal to distinguish it from the drain and to indicate device polarity (i.e.,  $n$  channel). (c) Simplified circuit symbol to be used when the source is connected to the body or when the effect of the body on device operation is unimportant.

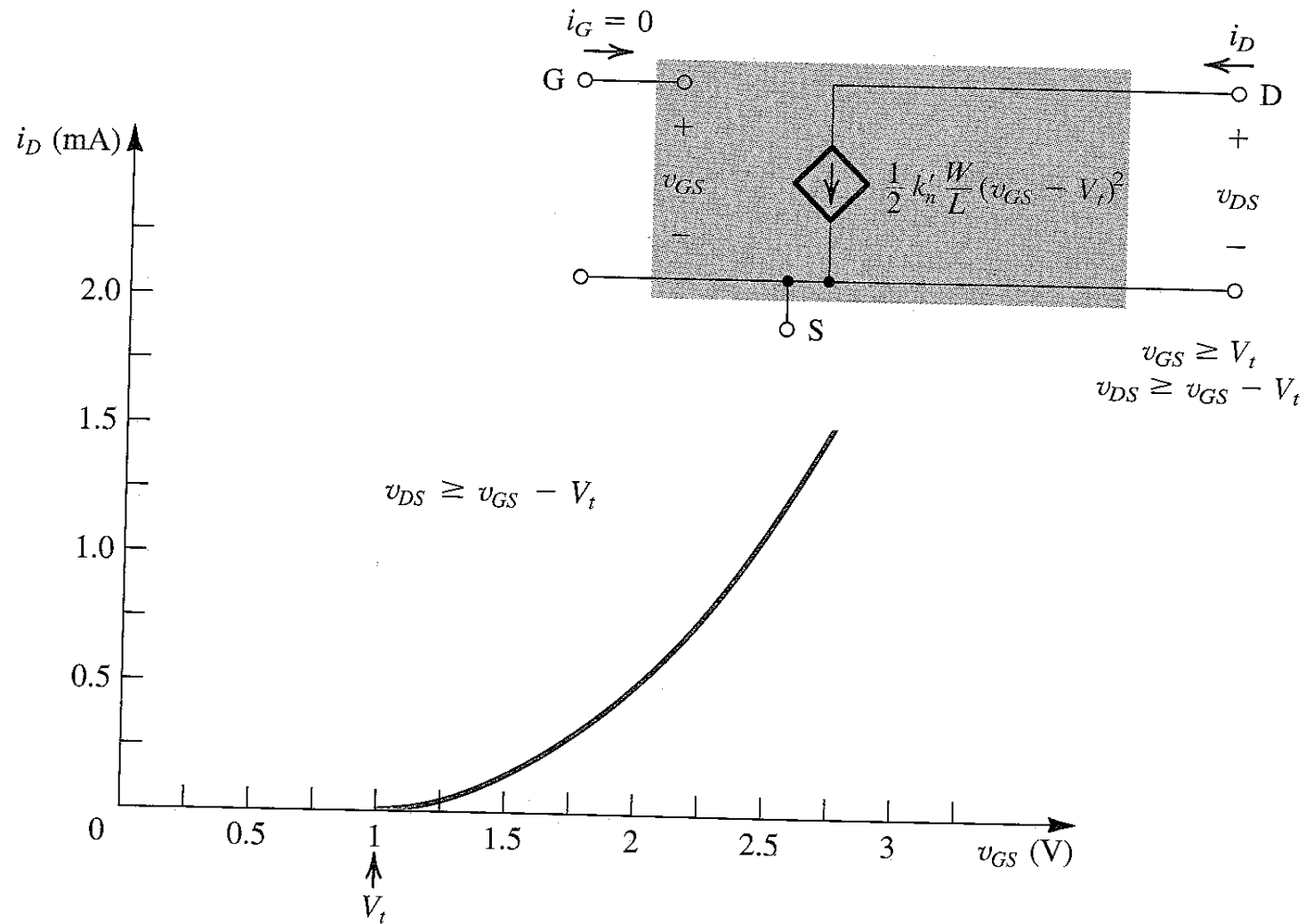
# Zonas de operación del MOSFET



# Zonas de operación del MOSFET

<u>Corte</u>	$v_{GS} < V_t$	$I_D = 0$
<u>Triodo (<math>V_{DS} &lt; V_{DSsat}</math>)</u>	$i_D = k'_n \frac{W}{L} \left[ (v_{GS} - V_t) v_{DS} - \frac{1}{2} v_{DS}^2 \right]$ $v_{GS} \geq V_t \quad (\text{Induced channel})$ $v_{DS} < v_{GS} - V_t \quad (\text{Continuous channel})$	
<u>Saturación</u> ( $V_{DS} > V_{DSsat}$ )	$v_{GS} \geq V_t \quad (\text{Induced channel})$ $v_{DS} \geq v_{GS} - V_t \quad (\text{Pinched-off channel})$ $i_D = \frac{1}{2} k'_n \frac{W}{L} (v_{GS} - V_t)^2$	

# $I_D$ vrs $V_{GS}$



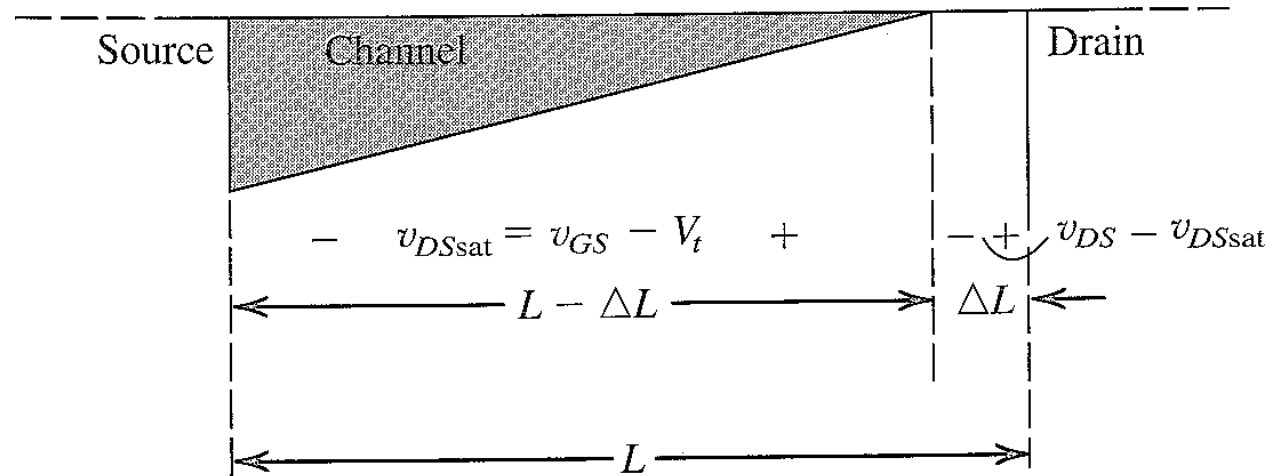


---

# Efecto de la Temperatura en el MOSFET

- Con el incremento de la temperatura  $I_D$  baja
  - $V_t \rightarrow$  aumenta (2mV x 1Celcius de incremento)
  - $K'_n \rightarrow$  disminuye (\* efecto dominante)

# Modulación del largo de canal



Idealmente no cuando VDS alcanza VDSsat; ID se vuelve independiente de VDS

En la practica esto no ocurre así: la longitud del canal se modifica creando una nueva longitud  $L'$

# Efecto en la corriente de Drain

$$\begin{aligned} i_D &= \frac{1}{2} k'_n \frac{W}{L - \Delta L} (v_{GS} - V_t)^2 \\ &= \frac{1}{2} k'_n \frac{W}{L} \frac{1}{1 - (\Delta L / L)} (v_{GS} - V_t)^2 \\ &\cong \frac{1}{2} k'_n \frac{W}{L} \left( 1 + \frac{\Delta L}{L} \right) (v_{GS} - V_t)^2 \end{aligned}$$

$$\Delta L = \lambda' v_{DS} \qquad \lambda = \frac{\lambda'}{L}$$

$$i_D = \frac{1}{2} k'_n \frac{W}{L} \left( 1 + \frac{\lambda'}{L} v_{DS} \right) (v_{GS} - V_t)^2$$

# Efecto de la Modulación de Longitud del canal en la característica $I_D$ - $V_{DS}$

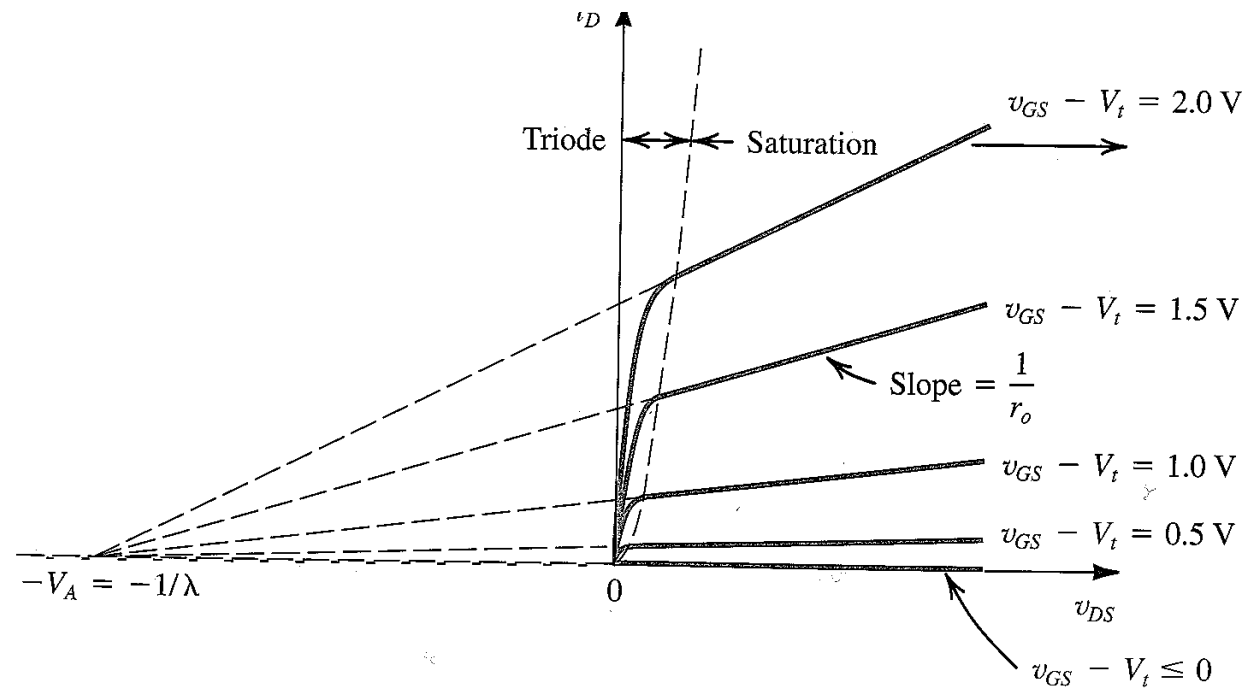
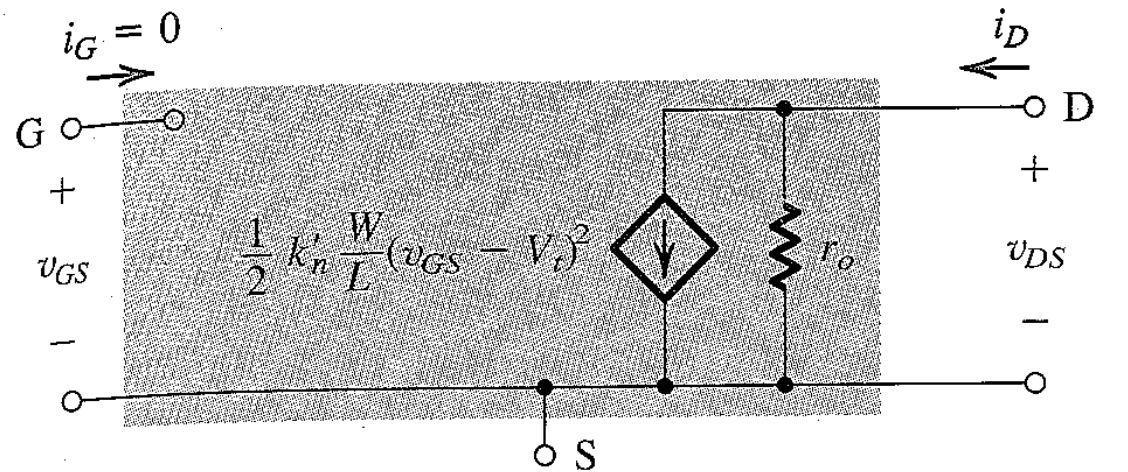


FIGURE 1.12

# Circuito equivalente incluyendo efecto de modulación de la longitud del canal



$$r_o \equiv \left[ \frac{\partial i_D}{\partial v_{DS}} \right]_{v_{GS} \text{ constant}}^{-1}$$

$$r_o = \left[ \lambda \frac{k'_n}{2} \frac{W}{L} (V_{GS} - V_t)^2 \right]^{-1}$$

$$r_o = \frac{1}{\lambda I_D}$$

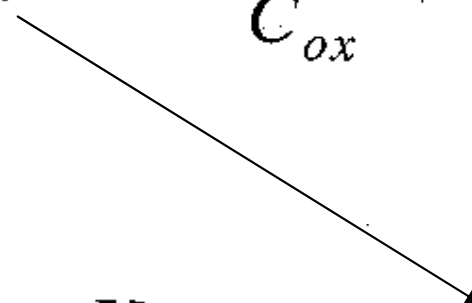
$$r_o = \frac{V_A}{I_D}$$

ID sin tomar en cuenta Modulación de la longitud de Canal

# Efecto del Sustrato en un MOSFET

$$\gamma = \frac{\sqrt{2qN_A\epsilon_s}}{C_{ox}}$$

Parámetro de efecto cuerpo


$$V_t = V_{t0} + \gamma[\sqrt{2\phi_f + V_{SB}} - \sqrt{2\phi_f}]$$

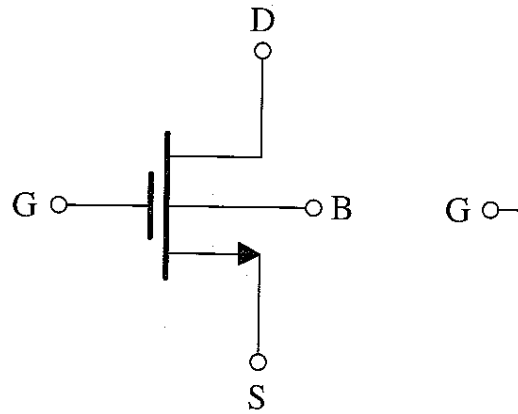
# Zonas de operación del MOSFET

<u>Corte</u>	$v_{GS} < V_t$	$I_D = 0$
<u>Triodo (<math>V_{DS} &lt; V_{DSsat}</math>)</u>	$i_D = k'_n \frac{W}{L} \left[ (v_{GS} - V_t) v_{DS} - \frac{1}{2} v_{DS}^2 \right]$ $v_{GS} \geq V_t \quad (\text{Induced channel})$ $v_{DS} < v_{GS} - V_t \quad (\text{Continuous channel})$	
<u>Saturación</u> ( $V_{DS} > V_{DSsat}$ )	$v_{GS} \geq V_t \quad (\text{Induced channel})$ $v_{DS} \geq v_{GS} - V_t \quad (\text{Pinched-off channel})$ $i_D = \frac{1}{2} k'_n \frac{W}{L} (v_{GS} - V_t)^2$	

# Relaciones adicionales

## NMOS Transistor

Symbol:



Overdrive voltage:

$$v_{OV} = v_{GS} - V_t$$

$$v_{GS} = V_t + v_{OV}$$

Operation in the *triode* region:

■ Conditions:

$$(1) \quad v_{GS} \geq V_t \Leftrightarrow v_{OV} \geq 0$$

$$(2) \quad v_{GD} \geq V_t \Leftrightarrow v_{DS} \leq v_{GS} - V_t \Leftrightarrow v_{DS} \leq v_{OV}$$

■ *i-v* Characteristics:

$$i_D = \mu_n C_{ox} \frac{W}{L} \left[ (v_{GS} - V_t) v_{DS} - \frac{1}{2} v_{DS}^2 \right]$$

■ For  $v_{DS} \ll 2(v_{GS} - V_t) \Leftrightarrow v_{DS} \ll 2v_{OV}$

$$r_{DS} \equiv \frac{v_{DS}}{i_D} = 1 / \left[ \mu_n C_{ox} \frac{W}{L} (v_{GS} - V_t) \right]$$

Operation in the *saturation* region:

■ Conditions:

$$(1) \quad v_{GS} \geq V_t \Leftrightarrow v_{OV} \geq 0$$

$$(2) \quad v_{GD} \leq V_t \Leftrightarrow v_{DS} \geq v_{GS} - V_t \Leftrightarrow v_{DS} \geq v_{OV}$$

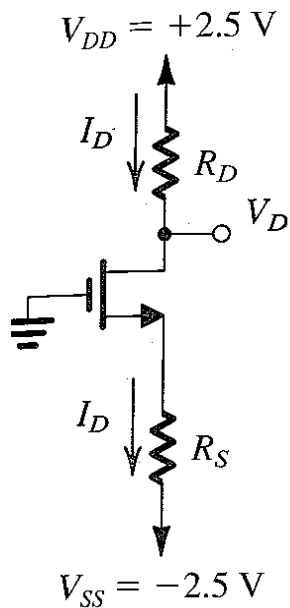
■ *i-v* Characteristics:

$$i_D = \frac{1}{2} \mu_n C_{ox} \frac{W}{L} (v_{GS} - V_t)^2 (1 + \lambda v_{DS})$$



# Análisis de MOSFET en CD

- Se desestima el efecto de la modulación del largo del canal



## Características del Diseño

$$I_D = 0.4 \text{ mA}$$

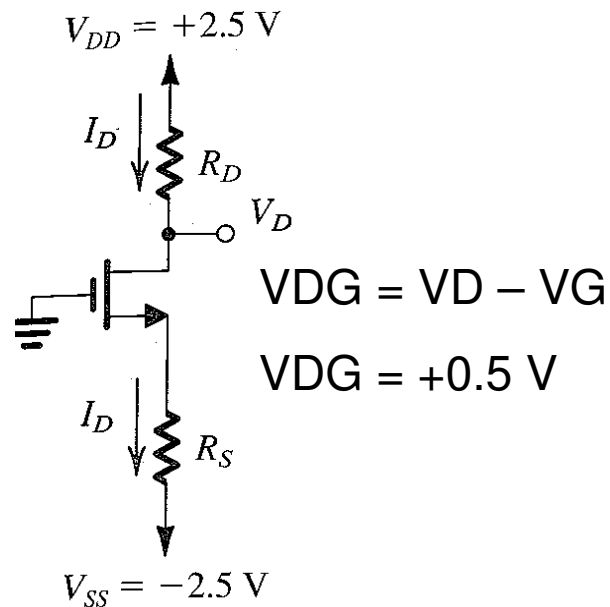
$$V_D = +0.5 \text{ V.}$$

## Datos que provee el problema

$$V_t = 0.7 \text{ V}, \mu_n C_{ox} = 100 \mu\text{A/V}^2, L = 1 \mu\text{m}, \text{ and } W = 32 \mu\text{m}.$$

Dimensionar  $R_D$  y  $R_S$  para cumplir características de operación dadas

# Análisis del Circuito



$$R_S = \frac{V_S - V_{SS}}{I_D}$$

$$R_S = \frac{-1.2 - (-2.5)}{0.4} = 3.25 \text{ k}\Omega$$

$$R_D = \frac{V_{DD} - V_D}{I_D}$$

$$= \frac{2.5 - 0.5}{0.4} = 5 \text{ k}\Omega$$

$$v_{GD} \leq V_t \quad \text{MOSFET operando en región de saturación}$$

$$I_D = \frac{1}{2} \mu_n C_{ox} \frac{W}{L} (V_{GS} - V_t)^2$$

$$\underline{V_{GS} = V_G - V_S}$$

$$\underline{V_{GS} = 0 - V_S = -V_S}$$

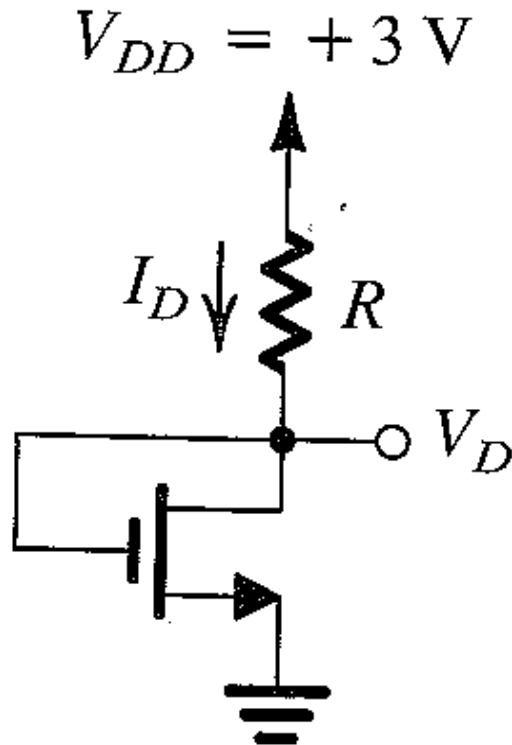
$$V_{GS} = V_t + V_{OV} = 0.7 + 0.5 = 1.2 \text{ V}$$

## Problema 2

$$V_t = 0.6 \text{ V}, \mu_n C_{ox} = 200 \mu\text{A}/\text{V}^2.$$

$$L = 0.8 \mu\text{m}, \text{ and } W = 4 \mu\text{m}.$$

Calcule R y  $V_D$  para  $I_D = 80 \mu\text{A}$



- A- Identifique los valores conocidos
- B- Ubique el punto de operación del Transistor
- C- Utilice las relaciones I-V del MOSFET para calcular los parámetros pedidos

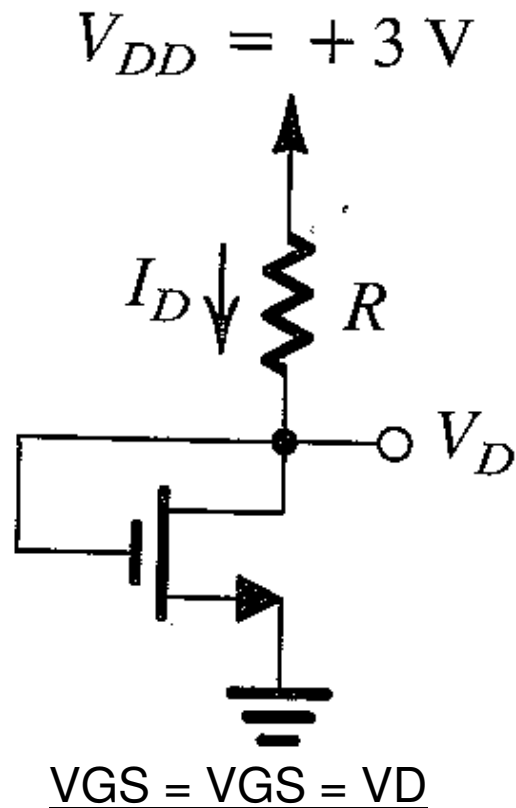
A- Valores conocidos

$$V_{GD} = 0$$

$$V_{GS} = V_{DS}$$

$$I_D = 80 \mu\text{A}$$

## Problema 2



$v_{GD} \leq V_t$  MOSFET operando en  
región de saturación

$$0 < 0.6$$

$$I_D = \frac{1}{2} \mu_n C_{ox} \frac{W}{L} (V_{GS} - V_t)^2$$

$$V_{GS} = V_t + V_{OV} :$$

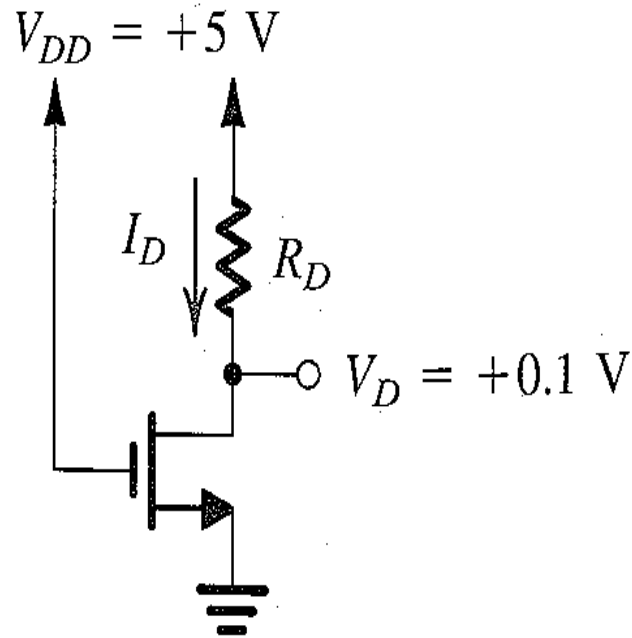
$$V_{OV} = \sqrt{\frac{2I_D}{\mu_n C_{ox} (W/L)}}$$

$$R = \frac{V_{DD} - V_D}{I_D}$$
$$= \frac{3 - 1}{0.080} = 25 \text{ k}\Omega$$

## Problema 3

Calcule los valores de los componentes para obtener  $V_D = 0.1$

Calcule el valor de la resistencia para el dispositivo en este punto de operación



Datos del Circuito

$$\underline{V_{GS} = 5\text{ V}}$$

$$\underline{V_{DS} = 0.1\text{ V}}$$

$$k'_n(W/L) = 1\text{ mA/V}^2.$$

$$V_t = 1\text{ V}$$

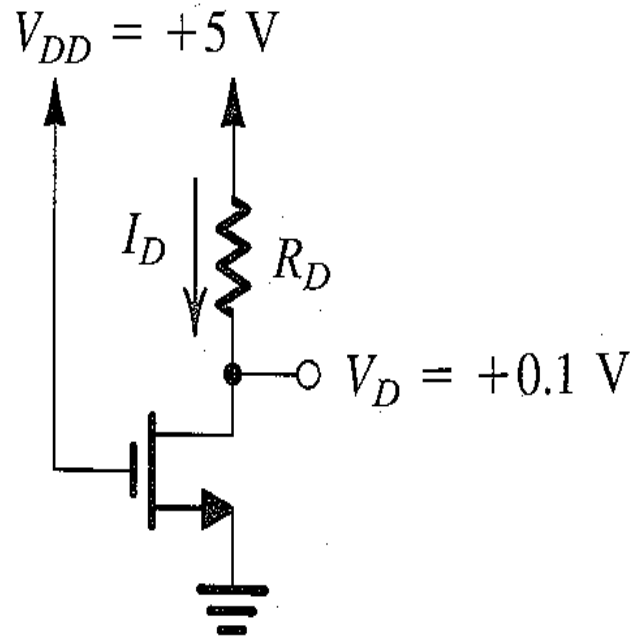
Ubicación del punto de operación del transistor

$$v_{GD} \geq V_t \quad V_{GD} = V_{GS} - V_{DS} = 4.9\text{ V}$$

$$\underline{4.9\text{ V} > 1\text{ V} \rightarrow \text{Región de triodo}}$$

# Problema 3

## Calculo de los parámetros del circuito



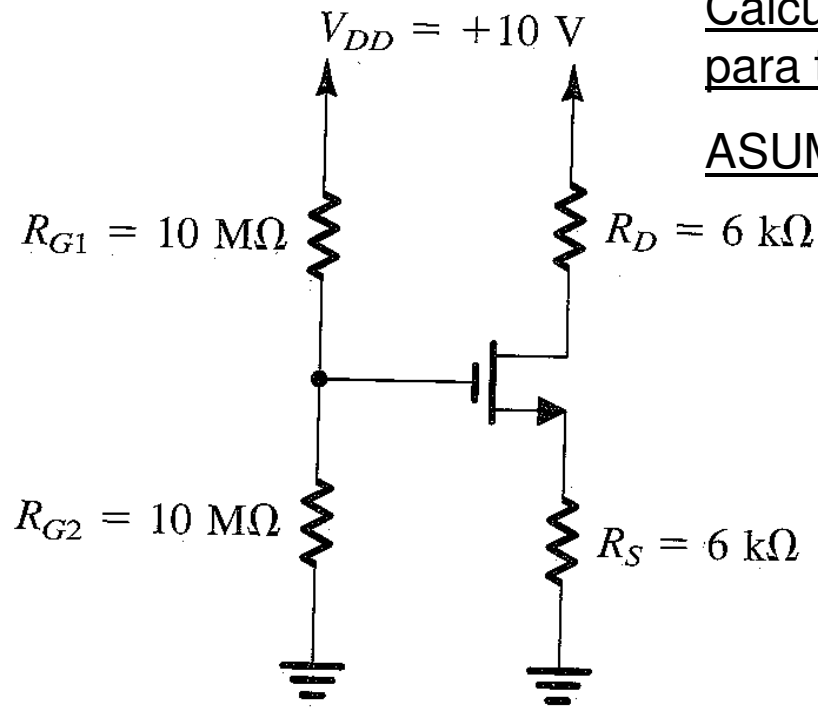
$$I_D = k'_n \frac{W}{L} \left[ (V_{GS} - V_t) V_{DS} - \frac{1}{2} V_{DS}^2 \right]$$

$$I_D = 1 \times \left[ (5 - 1) \times 0.1 - \frac{1}{2} \times 0.01 \right]$$
$$= 0.395\text{ mA}$$

$$R_D = \frac{V_{DD} - V_D}{I_D}$$
$$= \frac{5 - 0.1}{0.395} = 12.4\text{ k}\Omega$$

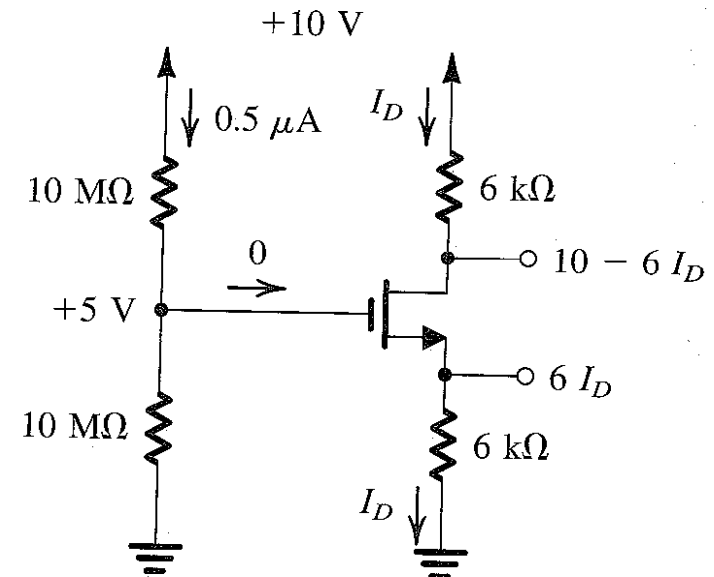
$$r_{DS} = \frac{V_{DS}}{I_D}$$
$$= \frac{0.1}{0.395} = 253\text{ }\Omega$$

# Problema 4

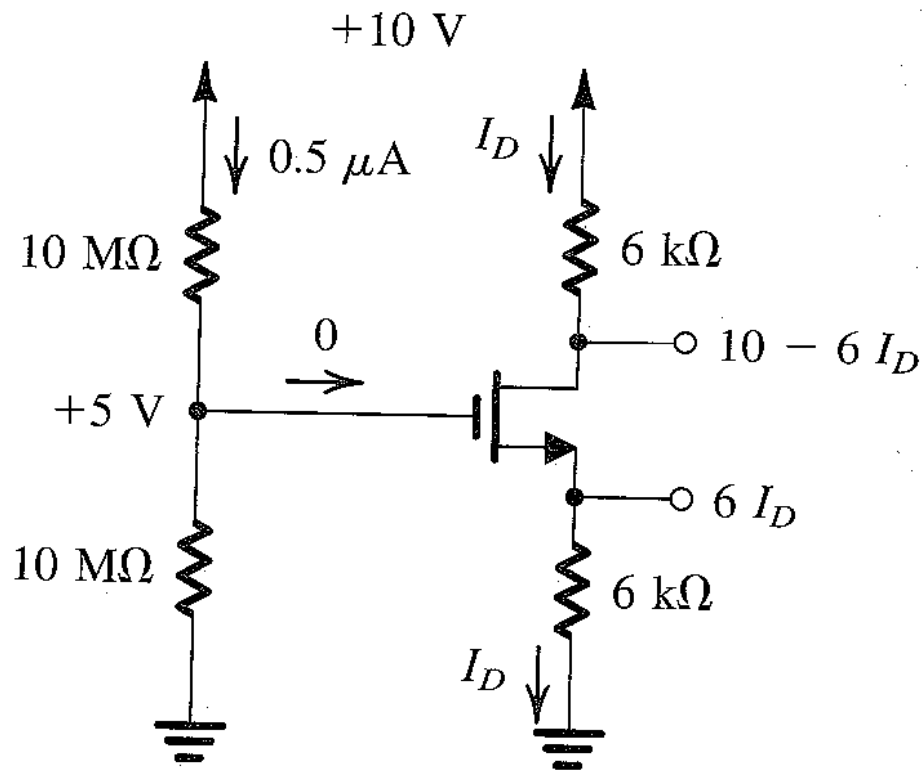


Calcule los valores de las corrientes y los voltaje para todos los nodos

ASUMA:  $V_t = 1 \text{ V}$  and  $k'_n(W/L) = 1 \text{ mA/V}^2$



# Problema 4



$$V_G = V_{DD} \frac{R_{G2}}{R_{G2} + R_{G1}} = 10 \times \frac{10}{10 + 10} = +5 \text{ V}$$

$$I_D = \frac{1}{2} k'_n \frac{W}{L} (V_{GS} - V_t)^2$$

$$= \frac{1}{2} \times 1 \times (5 - 6I_D - 1)^2$$

$$18I_D^2 - 25I_D + 8 = 0$$

$$V_D > V_G - V_t,$$



## Problema 5

$$V_{tn} = -V_{tp} = 1 \text{ V.}$$

$$k'_n(W_n/L_n) = k'_p(W_p/L_p) = 1 \text{ mA/V}^2$$

Encuentre  $I_{DN}$   $I_{DP}$  y  $V_o$ ?

A- Valores deducibles del circuito

$$|V_{DG}| = 0$$

